

بررسی تصفیه‌پذیری فاضلاب پالایشگاه نفت با استفاده از بیوراکتور غشایی

پژوهش نفت

سال بیست و دوم
شماره ۷۰

صفحه ۵۵-۴۳، ۱۳۹۱

تاریخ دریافت مقاله: ۹۰/۷/۲۵
تاریخ پذیرش مقاله: ۹۱/۱/۱۵

هدیه شیروانی^۱، حسین گنجی دوست^۱، محمود همتی^{۲*} و رادا زراسوند اسدی^۳

^۱- دانشگاه تربیت مدرس، دانشکده فنی و مهندسی، دانشکده مهندسی عمران و محیط زیست

^۲- پژوهشگاه صنعت نفت، پژوهشکده علوم و تکنولوژی پلیمر

^۳- پژوهشگاه صنعت نفت، پژوهشکده حفاظت صنعتی و محیط زیست، واحد تصفیه و بازیافت آب

hemmatim@ripi.ir

است. با افزایش غلظت MLSS از ۶۰۰۰ mg/L در ابتدای راه اندازی سامانه به ۹۹۰۰ mg/L در انتهای آزمایش، راندمان حذف از ۸۶/۰۰٪ به ۹۷/۳۲٪ در مرحله دوم و ۹۵/۲۲٪ در مرحله سوم تغییر کرد. نتایج حاکی از امکان پذیری تصفیه فاضلاب پالایشگاه نفت با این روش بود.

واژه‌های کلیدی: بیوراکتور غشایی، غوطه‌ور، غشای اولترافیلتراسیون، لجن فعال، فاضلاب نفتی

مقدمه

پالایشگاه‌ها از مرکز پر مصرف آب هستند که در ایران اغلب در مجاورت شهرهای بزرگ و حتی در برخی مواقع در داخل شهرها قرار دارند. از معیارهای اصلی در طراحی واحدهای تصفیه پسآب در پالایشگاه‌ها، نوع استفاده از پسآب تصفیه شده می‌باشد. آب تصفیه شده در پالایشگاه‌های کشور دارای سه کاربرد است: از این آب یا در برج‌های خنک کننده استفاده می‌شود، یا در آب رودخانه و دریا تخلیه می‌گردد و یا به عنوان آب کشاورزی برای آبیاری به کار می‌رود. روش‌های تصفیه فاضلاب‌های نفتی در پالایشگاه‌ها را می‌توان به روش‌های فیزیکی،

چکیده

هدف از این تحقیق، مطالعه امکان سنجی تصفیه‌پذیری فاضلاب‌های پالایشگاهی با بیوراکتور غشایی به منظور دست‌یابی به استانداردهای تخلیه و استفاده کشاورزی و در نتیجه کاهش مشکلات زیست محیطی ناشی از تخلیه فاضلاب‌های نفتی و مشکلات عملیاتی فرایند لجن فعال متعارف می‌باشد. برای این منظور یک پایلوت در مقیاس نیمه صنعتی ساخته و از پسآب خروجی واحد شناورسازی با هوای محلول تصفیه‌خانه پالایشگاه تهران به عنوان خوراک استفاده شد. سامانه غشایی مورد استفاده، یک مدول غشایی ساخته شده از ۵۶ غشای اولترافیلتر صفحه‌ای از جنس پلی اتر سولفون بود که در درون بیوراکتور غوطه‌ور شد. درصد حذف پارامترهای مورد نظر نسبت به زمان مورد بررسی قرار گرفت. آزمایشات در سه شار و سه زمان ماند هیدرولیکی متفاوت انجام گرفت. در مرحله دوم آزمایش و با زمان ماند هیدرولیکی ۱۵/۸۷ ساعت، نتایج بهتری نسبت به مراحل دیگر به دست آمد. متوسط درصد حذف پارامترهای COD، TOC، BOD، TSS، نفت و چربی و رنگ و مورد در این مرحله به ترتیب برابر ۹۷/۳۲٪، ۹۶/۳۶٪، ۹۹/۹۹٪، ۹۹/۱۸٪ و ۹۵/۵۸٪ بود. نتایج به دست آمده در همه مراحل بیان گر کیفیت مناسب پسآب تصفیه شده برای استفاده کشاورزی و یا تخلیه به آب‌های سطحی

شده می‌باشد. در بیوراکتورهای غشایی برای جداسازی لجن از فاضلاب تصفیه شده، به جای استفاده از فرایند تهشینی از فرایند غشایی استفاده می‌شود. در حال حاضر بیش از ۲۲۰۰ واحد MBR در حال بهره‌برداری و یا در دست ساخت در دنیا وجود دارد [۶]. ممیزی اخیر بازار MBR نشان داد که تا اواخر سال ۲۰۰۸، در حدود ۱۰۰۰ واحد MBR (با ظرفیت ۱۰۰ مترمکعب در روز برای پس‌آب شهری و ۲۰ مترمکعب در روز برای پس‌آب‌های صنعتی) در اروپا و خاورمیانه در حال بهره‌برداری بودند که این ۱۰۰۰ واحد شامل ۵۵۰ واحد صنعتی در اروپا (به علاوه ۶۵ واحد جدید در سال)، ۲۵۰ واحد تصفیه پس‌آب شهری (به علاوه ۴۵ واحد جدید در سال) و حدود ۵۰ واحد در خاورمیانه با رشد ۲۰ واحد جدید در سال بود [۷].

ایده استفاده از روش اولترافیلتراسیون به جای تهشینی در سال ۱۹۶۹ توسط آفای اسمیت و همکارانش ارائه شد. در بیوراکتورهای غشایی برای جداسازی پس‌آب تصفیه شده از میکرووارگانیزم‌های داخل مایع مخلوط، از میکروفیلتراسیون یا اولترافیلتراسیون استفاده می‌شود. وجود واحد غشا در این راکتورها این امکان را فراهم می‌کند تا به دور از مسائل مربوط به مشکلات تهشینی در فرآیندهای معمول، بتوان سن لجن را تا میزان دلخواه بالا برد و با این کار، امکان رشد میکرووارگانیزم‌های ویژه را فراهم کرد. لذا برخی از ترکیبات خاص در این فرآیند امکان تصفیه می‌یابند. در این فرآیند با جایگزینی واحد تهشینی ثقلی با سامانه جداکننده غشایی، منافع زیادی از قبیل پایداری در بهره‌برداری، کاهش تولید لجن مازاد تا ۷۰٪ و کیفیت بسیار بالاتر پس‌آب خروجی به دست می‌آید. بنابراین، این سامانه فرآیند مناسبی است که می‌تواند در محدوده وسیعی برای تصفیه فاضلاب‌های شهری و صنعتی به کار گرفته شود. سامانه مدلار غشایی با افزودن مدول‌های دیگری از غشاهای به آسانی برای رسیدن به ظرفیت‌های بالاتر قابل توسعه است. هوای تمیزکننده که از کف مدول‌های غشایی به واحد هواده‌ی وارد می‌شود و شستشوی معکوس و اتوماتیک غشاهای سامانه کارآمدی را به وجود آورده و از

1. American Petroleum Institute

2. Bulking

3. Rising

4. Membrane Bioreactor

بیولوژیکی و شیمیایی تقسیم کرد. روش‌های تصفیه فیزیکی معمولاً موارد زیر را شامل می‌شود: ۱- همگنسازی، ۲- تهشینی و ۳- فرایندهای جداسازی نفت از آب شامل: فیلتراسیون، شناورسازی، جداسازهای ثقلی یا API، جداکننده‌های تجمعی و سیکلون‌ها [۱ و ۲]. روش‌های شیمیایی بیشتر بر روی شکستن امولسیون‌ها و انعقاد مواد نفتی مرکز است [۱]. تصفیه بیولوژیکی یک روش مؤثر برای حذف مواد آلی نظیر مواد معلق و یا محلول در پس‌آب است [۳]. یکی از روش‌های تصفیه بیولوژیکی پس‌آب، استفاده از حوضچه‌های هواده‌ی لجن فعال است. عمل هواده‌ی در لجن فعال با استفاده از هواده‌های مکانیکی یا نفوذکننده به منظور رساندن اکسیژن به باکتری‌ها برای تجزیه مواد آلی و ایجاد اختلال مناسب در حوض هواده‌ی صورت می‌گیرد. بعد از حوض هواده‌ی، فاضلاب وارد حوض تهشینی شده و توده سلولی به شکل لجن در حوض تهشینی از پس‌آب جدا می‌گردد. پس‌آب خروجی برای تصفیه بیشتر به واحدهای بعدی انتقال می‌یابد. مقداری از لجن تهشین شده برای حفظ غلاظت مناسب از توده میکروبی به داخل حوض هواده‌ی برگشت داده می‌شود و باقی‌مانده آن حذف می‌گردد [۴].

معایب این فرایند عبارتند از: نیاز به تجهیزات برقی و مکانیکی نسبتاً زیاد و در نتیجه افزایش واردات و ارزبری در مقایسه با سایر فرایندهای تصفیه، بالا بودن هزینه‌های راهبری به واسطه مصرف انرژی بیشتر در طول سال‌های بهره‌برداری، مشکلات بهره‌برداری از قبیل ایجاد کف، حجم شدن لجن، بالا آمدن لجن، رشد پراکنده دسته‌ها؛ بالا بودن هزینه‌های تعمیرات و نگهداری، گرفتگی خطوط ارتباطی حوض هواده‌ی و تهشینی و نیاز به اراضی بیشتر برای احداث تصفیه‌خانه. همچنین در این روش بازده سامانه تصفیه برای پذیرش بارهای بیشتر مواد آلی و هیدرولیکی با محدودیت رو به رو است. حجم لجن تولیدی در این سامانه زیاد می‌باشد و باید با حذف هزینه‌های سنگین و احداث تأسیسات دفع لجن، نسبت به تصفیه و دفع آن اقدام شود [۵]. تلفیق راکتورهای بیولوژیکی با غشاهای بیوراکتور غشایی (MBR)، یکی از روش‌های مؤثر برای کاهش این مشکلات و افزایش کیفیت فاضلاب تصفیه

تصفیه پس‌آب سنتزی با استفاده از غشایی از جنس پلی سولفون با قطر روزن $0/2 \mu\text{m}$ و سطح موثر فیلتراسیون $1/\text{m}^2$ مستغرق داخل بیوراکتور پرداختند که نتایج آن به صورت میزان فلاکس نفوذپذیری 2 L/hrm^2 و زمان ماند هیدرولیکی 24 hr و 9 g/L MLSS می‌باشد. این محققین، میزان حذف COD را 94% گزارش کردند [۱۳].

انواع بیوراکتورهای غشایی

بیوراکتورهای غشایی بر اساس محل قرار گرفتن غشا در دو شکل غوطه‌ور^۱ و جانبی^۲ ساخته می‌شوند [۸]. همان گونه که در شکل ۱ مشاهده می‌شود، در بیوراکتورهای غشایی غوطه‌ور (داخلی)، سامانه غشایی در داخل بیوراکتور قرار داده شده و مایع مخلوط داخل بیوراکتور، آن را می‌پوشاند. معمولاً از ارتفاع مایع بالای سامانه غشایی به عنوان نیروی محرك لازم برای عبور پس‌آب تصفیه شده از دیواره غشا استفاده می‌شود. در برخی موارد، از یک پمپ خالد در سمت خروجی سامانه نیز استفاده می‌شود تا شار عبوری تا حد مورد نظر افزایش یابد. در سامانه‌های غوطه‌ور، برای تمیز کردن مداوم سطح غشا و جلوگیری از گرفتگی آنها، از یک سامانه هوادهی حباب درشت استفاده می‌شود. در بیوراکتورهای غشایی جانبی (خارجی)، سامانه غشایی در خارج از بیوراکتور قرار داشته و مایع مخلوط داخل بیوراکتور توسط پمپ‌هایی به داخل غشا انتقال می‌یابد. مایع مخلوط غلیظ شده نیز از انتهای سامانه غشایی خارج شده و به داخل بیوراکتور برگشت داده می‌شود [۸]. دو بیوراکتور در جدول ۱ با یکدیگر مقایسه شده‌اند [۱۴].

روش کار

ساخت پایلوت

ابتدا طرح اولیه‌ای از پایلوت بیوراکتور غشایی در مقیاس نیمه صنعتی تهیه شد. نوع بیوراکتور غشایی مورد نظر و جنس غشا با در نظر گرفتن خصوصیات کمی و کیفی فاضلاب مورد تصفیه از جمله pH و ترکیب فاضلاب تعیین گردید.

گرفتگی آنها جلوگیری می‌کند.

استفاده از فرایند غشایی برای تصفیه فاضلاب‌های نفتی اولین بار در سال ۱۹۷۶ توسط بنسل مطرح شد. در این سامانه از یک غشا اولترافیلتراسیون برای تصفیه پس‌آب‌های نفتی استفاده شده بود. نتایج آزمایشگاهی و پایلوتی این سامانه نشان داد که فرایند تصفیه بسیار مؤثر و کارساز بوده است [۸].

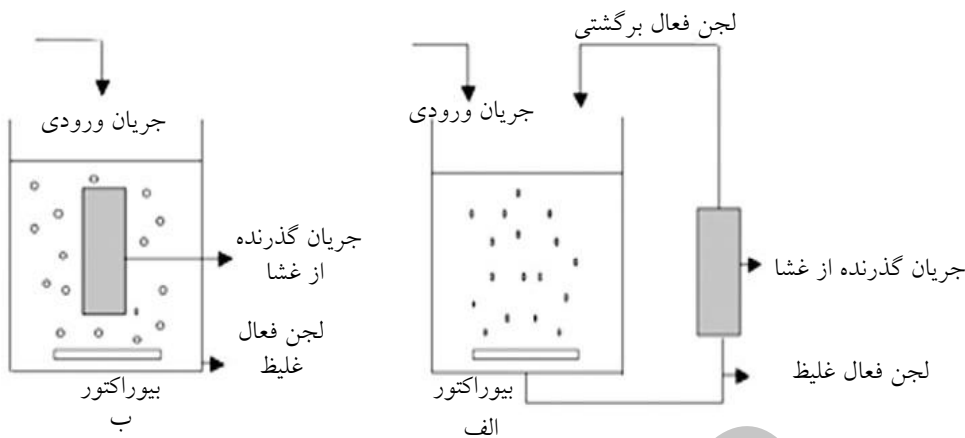
به گزارش S.H Lin و W.J. Lan، در سال ۱۹۹۲ M. Bodzek و K. Konieczny عملکرد غشا اولترا از جنس پلی اکریلونیتریل (PAN) و پلی وینیلیدین کلراید (PVC) را برای سه نوع امولسیون نفتی بررسی کردند و بیش از ۹۰ درصد از COD ورودی حذف شده بود [۹].

و ثوقی و مصلحی در سال ۱۳۸۳ از یک غشا میکروفیلتراسیون لوله‌ای برای جداسازی و برگشت توده سلولی، مواد جامد معلق و مولکول‌های سنگین خروجی از بیوراکتور استفاده کردند. نتایج نشان داد که راندمان حذف بر حسب شرایط بین ۹۳ تا ۹۷٪ تغییر می‌کند و غلظت MLSS در بیوراکتور نیز تدریجاً تا $16/2\text{ g/L}$ افزایش می‌یابد [۱۰]. غلظت توده سلولی در بیوراکتورهای غشایی تا 48 g/L نیز برای فاضلاب‌های نفتی گزارش شده است [۱۱].

Qin و همکاران در سال ۲۰۰۷، در مقیاس آزمایشگاهی از یک بیوراکتور غشایی غوطه‌ور برای تصفیه پس‌آب پتروشیمی استفاده کردند. سامانه غشایی مورد استفاده شامل ۳ مدول غشای صفحه‌ای از جنس پلی اتیلن کلرینه شده با قطر منفذ غشا $0/4 \mu\text{m}$ و سطح غشا $1/\text{m}^2$ در هر مدول بود. بر اساس نتایج به دست آمده، شار مناسب در شرایط آزمایش $12/5\text{ L/hr.m}^2$ و زمان ماند هیدرولیکی ۱۳ ساعت، کاربردی تر بوده است. همچنین اگرچه COD خوراک بین 700 mg/L تا 2000 mg/L متغیر بود، COD محصول خروجی از بیوراکتور همواره زیر 100 mg/L به دست آمده است. با وجود این که در ۲ هفته آخر، COD خوراک بین 1200 mg/L تا 700 mg/L متغیر بود، تراوایی غشایی بعد از بیوراکتور همواره زیر 50 mg/L بود. تراوایی غشایی بعد از آزمایش کاملاً بازیابی شد [۱۲].

و همکارانش در سال ۲۰۰۸، به بررسی Lesage

1. Submerged Membrane Bioreactor
2. Side Stream Membrane Bioreactor



شکل ۱- (الف) بیوراکتور غشایی جانبی و (ب) بیوراکتور غشایی غوطه‌ور [۸]

جدول ۱- مقایسه بیوراکتورهای غشایی غوطه‌ور و جانبی [۱۴]

بیوراکتورهای غشایی جانبی	بیوراکتورهای غشایی غوطه‌ور	
کم	زیاد	هزینه هواده‌ی
زیاد	کم (در صورت استفاده از پمپ خلاء این هزینه افزایش می‌یابد)	هزینه پمپاژ
زیاد (اشغال فضای کمتر)	کم (اشغال فضای بیشتر)	شار جریان گذرنده از غشا
زیاد	کم	تناوب شستشوی غشاهای
زیاد	کم	هزینه عملیاتی
کم	زیاد	هزینه سرمایه گذاری

طرح تهیه شده، پایلوت مورد نیاز شامل مخزن هواده‌ی و اتاقک کنترل ساخته شد و تجهیزات مورد نیاز نصب گردید. شکل ۳ تصویری از مخزن هواده‌ی و اتاقک کنترل را نشان می‌دهد.

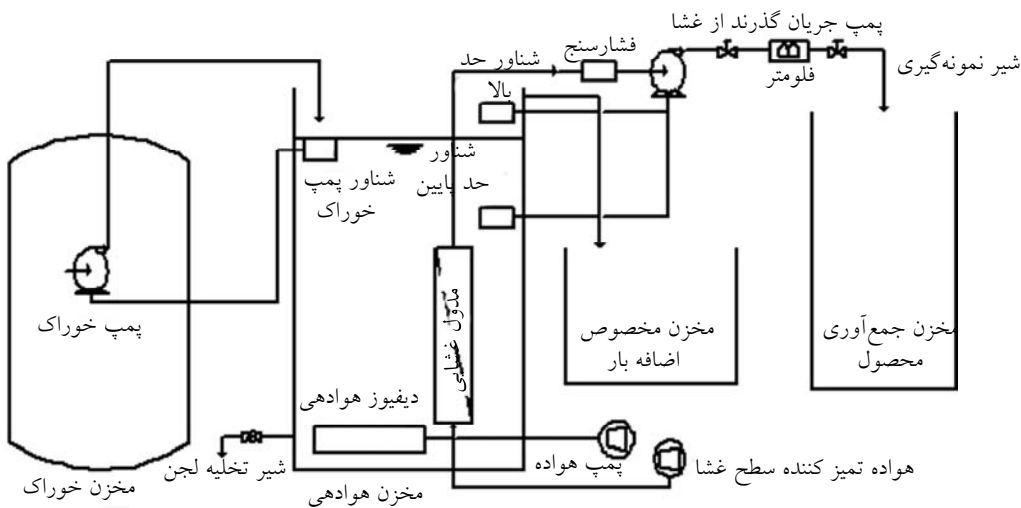
با توجه به محدودیت‌های موجود برای تهیه و خرید غشا، پس از بررسی و مکاتبه با شرکت‌های سازنده MBR پایلوت مورد نظر از شرکت Huber AG تهیه شد. شکل ۲ نمودار جریان- فرایند^۱ مورد استفاده در این تحقیق را نشان می‌دهد.

روش آزمایش

بعد از آماده شدن پایلوت، ابتدا سامانه به مدت ۴ روز با آب تمیز راهاندازی شد. در این مدت عملکرد تک تک اجزا از قبیل پمپ خوارک و جریان گذرنده از سطح غشا، هواده‌ها و تجهیزات کنترلی بررسی و اشکالات موجود رفع گردید. همچنین ضریب نفوذپذیری غشا محاسبه شده و تغییرات آن در این مدت مورد مطالعه قرار گرفت. از خروجی واحد شناورسازی با هوای محلول پالایشگاه تهران به عنوان خوارک بیوراکتور استفاده شد. مشخصات خوارک و محدوده تغییرات پارامترهای آن در جدول ۲ ارائه شده است.

سامانه غشایی مورد استفاده از نوع VUM^۲ بود. مدول غشایی شامل ۵۶ غشای صفحه‌ای از جنس پلی اتر سلفون (PES) به قطر ۳۸ nm بود که با فاصله ۴ mm به یکدیگر متصل شده بودند. سطح فیلتراسیون مدول غشایی ۴ m² بود. غشاهای در دو طرف یک صفحه پلاستیکی از جنس پلی پروپیلن قرار گرفته و توسط یک روکش پوشانده شدند. مدول غشایی در داخل محفظه‌ای مشبک قرار گرفت و انتهای آن به یک هواده متصل شد که هوای را در خلاف جهت جریان گذرنده از غشا به مدول غشایی تزریق می‌کرد. این هواده به منظور تمیز کردن مداوم سطح غشا و برداشتن کیک تشکیل شده بر روی سطح آن، در سامانه قرار داده شد. با توجه به ابعاد غشا و بر اساس

1. Process Flow Diagram(PFD)
2. Vacuum Ultra Filtration Membrane



شکل ۲- نمودار جریان - فرایند مورد استفاده در این تحقیق



شکل ۳- تصویر مخزن هواده و اتاق کنترل

جدول ۲- مشخصات خوراک و محدوده تغییرات پارامترهای آن

پارامتر	محدوده
pH در ۲۵ °C	۶/۵-۹/۱
(رنگ) TCU	۵۹-۱۶۸
کدروت NTU	۶۲-۱۰۴
ازت آمونیاکی mg/L	۱۲۹-۷۱/۶
TSS mg/L	۲۳۲-۱۴۴
TOC(mg/L as C)	۱۱۳-۲۸۷
COD(mg/L as O ₂)	۳۰۸-۵۹۴
BOD ₅ (mg/L as O ₂)	۷۲-۱۹۶
مواد نفتی و روغنی mg/L	۱۹-۵۱/۲
* Fe, Cr, Ni, V	N

* غلظت فلزات سنگین از قبیل V, Cr, Ni, Fe در خوراک ورودی طبق گزارشات آزمایشگاه قابل اندازه‌گیری نبوده است.

تقسیم شد و در صد حذف پارامترهای مورد نظر در سه مرحله با شدت جریان های L/hr ۵۰، ۷۰ و ۹۰ مورد مطالعه قرار گرفت. تغییرات MLVSS و MLSS نسبت به زمان بررسی شد. همچنین تغییرات فشار ورودی و خروجی ثبت شده و فشار در عرض غشا در هر یک از مراحل محاسبه گردید و تغییرات آن در طول سه مرحله آزمایش مورد بررسی قرار گرفت.

کل زمان بهره برداری از سامانه ۴۵ روز بود. سامانه به صورت ۲۴ ساعته کار می کرد. جدول ۴ شرایط عملیاتی مراحل مختلف آزمایش را نشان می دهد. هنگامی که فشار در عرض غشا (TMP)^۱ به حداقل فشار تعیین شده توسط سازنده رسید، مدول غشایی مطابق با دستورالعمل، مورد شیوه ای شیمیایی قرار گرفت. بعد از شیوه ای مذکور محاسبه میزان بازیابی غشا، مخزن هوادهی با آب تمیز پر شد. مدول غشایی مجدداً درون آب قرار گرفت. دبی خروجی L/hr ۷۰ و شار $m^2 hr^{-1}$ ۱۷/۵ تنظیم شد و سامانه ۴ روز با آب تمیز کار کرد. ضریب نفوذ پذیری غشا در این چهار روز محاسبه و با ضریب نفوذ پذیری اولیه غشا قبل از راه اندازی سامانه با فاضلاب مقایسه شد.

بسته به شرایط عملیاتی، خوراک هفتاهی یک یا دو بار توسط تانکر به محل پایلوت منتقل و در مخزن خوراک و دو مخزن ذخیره موجود در پایلوت تخلیه شد. همچنین به منظور افزایش راندمان سیستم، از لجن برگشتی حوضچه لجن فعال پالایشگاه تهران به عنوان مایع معلق مخلوط داخل بیوراکتور استفاده شد. بنابراین فرض گردید که میکرووارگانیسم ها به لجن عادت کردند. لجن تا زمان راه اندازی سیستم به منظور دست یابی به غلاظت MLSS مورد نظر، تدریجیاً خوراک دهی شد. نمونه های خوراک جهت تعیین مشخصات کیفی به آزمایشگاه منتقل شد و مطابق با روش های استاندارد موجود در مراجع مورد آزمایش قرار گرفت (جدول ۳).

به علت هم زمانی انجام این پروژه با دوره تعمیرات پالایشگاه تهران، غلاظت H_2S در خوراک ورودی بالا بوده و به همین دلیل زمانی که میزان H_2S خوراک بیشتر از ۲۰ ppm بود، جهت پیشگیری از مسمومیت و از بین رفتن ارگانیسم های لجن، خوراک قبل از تزریق به بیوراکتور، هوادهی و مجدداً میزان H_2S آن اندازه گیری شد. آزمایش ها به منظور بررسی تاثیر زمان ماند هیدرولیکی در میزان تصفیه پذیری فاضلاب و تعیین شار بهینه، به سه بخش

جدول ۳- روش های انجام آزمایش بر روی خوراک و خروجی

پارامتر	روش اندازه گیری	مرجع
BOD_5	2510B	۱۹۹۸ Greenberg
COD	B 5520	۱۹۹۸ Greenberg
TSS	2540D	۱۹۹۸ Greenberg
مواد نفتی و روغنی (دستگاهی)	5520C	۱۹۹۸ Greenberg
نیتروژن آمونیاکی	D1426	۱۹۹۸ ASTM
فلن	D1783	۱۹۹۸ ASTM
رنگ	2120B	۱۹۹۸ Greenberg
کدورت	D1889	۱۹۹۸ ASTM
H_2S	E 4500	۱۹۹۸ Greenberg

۱. Trans Membrane Pressure

جدول ۴- شرایط عملیاتی مراحل مختلف آزمایش

پارامتر	شار غشا ($L m^{-2} hr^{-1}$)	سطح غشا (m^2)	زمان ماند هیدرولیکی (hr) (HRT)	دبی پرمیت (L/hr)	مرحله اول	مرحله دوم	مرحله سوم
غلظت اکسیژن محلول در مخزن هوادهی (mg/L)	۲/۰-۴						۹۰
pH مخزن هوادهی	۷/۳-۸/۵						۱۲/۳۵
زمان ماند لجن (SRT) (روز)		۴۰	۶۰		۲۵		۰/۱
نسبت غذا به مبکر وارگانیزم * (F/M)		۰/۰۵	۰/۰۵	۰/۰۵			۹۳۶۱/۰۰
MLSS (mg/L)*		۸۰۷۰/۰۰			۶۶۳۹/۰۰		۷۴۸۸/۰۰
MLVSS (mg/L)*		۶۲۷۴/۰۰			۴۹۷۳/۰۰		
عملکرد پمپ هواده (ثانیه)		۶۰	۶۰	روشن: ۹۰ خاموش:			
عملکرد پمپ پرمیت (ثانیه)		۲۷۰	۳۰	روشن: ۲۷۰ خاموش:			
دما				دما			
دما							

* مقادیر ذکر شده مقدار متوسط مؤلفه مورد نظر می باشد.

نتایج

جدول ۵ مقادیر متوسط نتایج به دست آمده از تحقیق، راندمان حذف و مقادیر استاندارد استفاده کشاورزی و تخلیه به آب های سطحی را نشان می دهد. همان گونه که مشاهده می شود، کیفیت فاضلاب تصفیه شده نه تنها برای استفاده کشاورزی بلکه برای تخلیه به آب های سطحی نیز مناسب می باشد.

بررسی تغییرات COD، TOC و مواد نفتی و روغنی

شکل های ۴ تا ۶ به ترتیب درصد حذف COD، TOC و نفت و چربی را نسبت به زمان در طول آزمایش نشان می دهند. درصد حذف COD در مراحل اول، دوم و سوم به ترتیب ۹۵/۲۲٪، ۹۷/۳۲٪ و ۹۷/۴۰٪ و متوسط درصد حذف COD نشان می دهد به غیر از هفته اول راه اندازی، غلظت COD نشان می دهد به غیر از هفته اول راه اندازی، غلظت COD در پرمیت همواره کمتر از ۱۰۰ mg/L است. در ۱۵ روز آخر نیز غلظت COD در پرمیت کمتر از ۵۰ mg/L در لیتر می باشد. مطابق شکل ۵، درصد حذف TOC در مراحل اول، دوم و سوم به ترتیب ۹۴/۲۲٪، ۹۶/۲۹٪ و ۹۶/۰۵٪ می باشد. مشاهده می شود که درصد حذف TOC نیز در مرحله دوم بیشتر از سایر مراحل است. درصد متوسط حذف TOC در

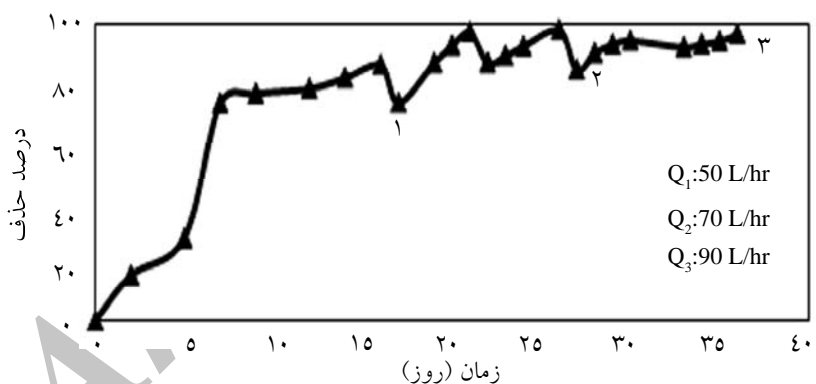
کل آزمایش ۹۲/۵۰٪ است. شکل ۶ تغییرات غلظت مواد نفتی و روغنی در خوراک و پرمیت نسبت به زمان و شکل ۷، درصد حذف را نشان می دهد. مشاهده می شود علی رغم اینکه غلظت مواد نفتی و روغنی در خوراک بین ۱۹ تا ۵۱ mg/L متغیر است، غلظت در پرمیت همواره زیر ۸ mg/L و در انتهای هر مرحله نیز غلظت مواد نفتی و روغنی کمتر از ۰/۵ mg/L می باشد. این موضوع بیان گر توانایی غشا در حذف امولسیون های مواد نفتی و روغنی است.

بررسی تغییرات MLSS و MLVSS و تأثیر آن در TMP و راندمان فرایند

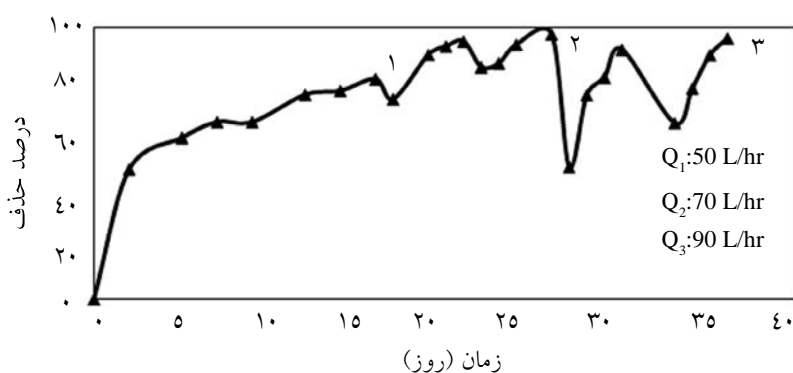
شکل ۸ تغییرات MLSS و MLVSS را نسبت به زمان در طول آزمایش نشان می دهد. کاهش خوراک دهی لجن به علت بالا بودن میزان H_2S اولین نمونه خوراک، می تواند دلیل افت غلظت MLSS در روز دوم راه اندازی سامانه باشد. همچنین در مرحله اول، میزان H_2S بالای خوراک، سبب از بین رفتن تعداد زیادی از ارگانیزم ها شد. لازم به ذکر است در روز چهارم به منظور افزایش غلظت MLSS و فراهم نمودن گونه های میکروبی لازم جهت تصفیه بیولوژیکی، مجدداً مقداری لجن برگشتی به بیوراکتور اضافه شد.

جدول ۵- مقادیر متوسط نتایج به دست آمده از تحقیق

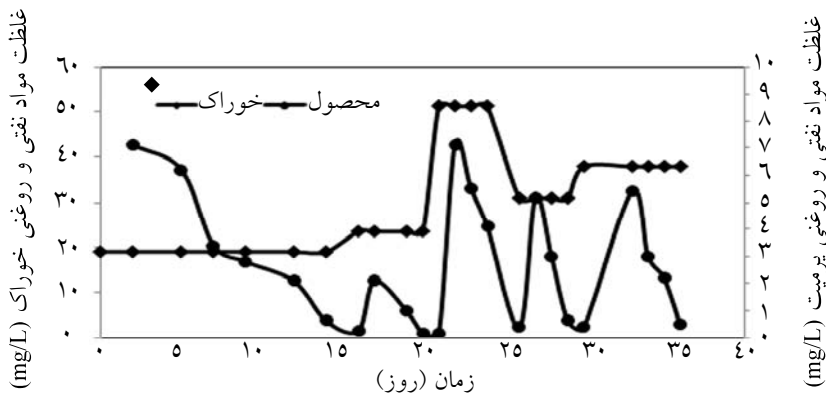
پارامتر	خوارک ورودی (خروچی واحد DAF)			MBR			درصد حذف			استاندارد کشاورزی (mg/lit)	استاندارد تخلیه به آب های سطحی (mg/lit)	تخلیه به چاه جاداب (mg/lit)
	مرحله ۱	مرحله ۲	مرحله ۳	مرحله ۱	مرحله ۲	مرحله ۳	مرحله ۱	مرحله ۲	مرحله ۳			
pH@25°C	۹/۹	۷/۴	۸/۳	۸/۱	۷/۲۵	۸/۲	-	-	-	۶-۸/۵	۶/۵-۸/۵	۵-۹
COD (mg/lit as O ₂)	۳۴۳	۳۵۳/۵	۴۵۱	۴۸	۹/۵	۲۳	۸۶/۰۰	۹۷/۳۲	۹۳/۳۱	۲۰۰	لحظه‌ای ۶۰ ۱۰۰	۶۰
BOD ₅ (mg/lit as O ₂)	۱۱۲	۱۰۰	۱۰۳	۲۹	۶	۱۱/۵	۷۴/۱۰	۹۲/۵۸	۹۱/۶۸	۱۰۰	لحظه‌ای ۳۰ ۵۰	۳۰ ۵۰
TOC (mg/lit as C)	۱۳۸	۱۰۷	۲۰۰	۳۶	۵/۳۵	۱۰/۰۵	۸۱/۱۵	۹۷/۳۶	۹۴/۰۵	-	-	-
Oil & Grease (mg/lit)	۱۹	۲۷/۳۵	۳۴/۵	۰/۳	۰/۳	۰/۳۲	۹۸/۴۲	۹۹/۱۸	۹۸/۶۹	۱۰	۱۰	۱۰
TSS (mg/lit)	۲۳۰	۱۸۴	۱۸۸/۵	۱	-	-	۹۹/۵۶	۹۹/۹۹	۹۹/۹۹	۱۰۰	لحظه‌ای ۴۰ ۶۰	-
(TCU) رنگ	۸۳	۷۵/۵	۱۱۳/۵	۶	۴	۷/۵	۹۲/۷	۹۴/۹۷	۹۰/۵۸	۷۵	۷۵	۷۵
کدورت (NTU)	۹۵	۶۹	۴۰/۵	۰/۰۵	۰/۲۷	۰/۲۷	۹۹/۴۲	۹۹/۵۴	۹۹/۱۹	۵۰	۵۰	-



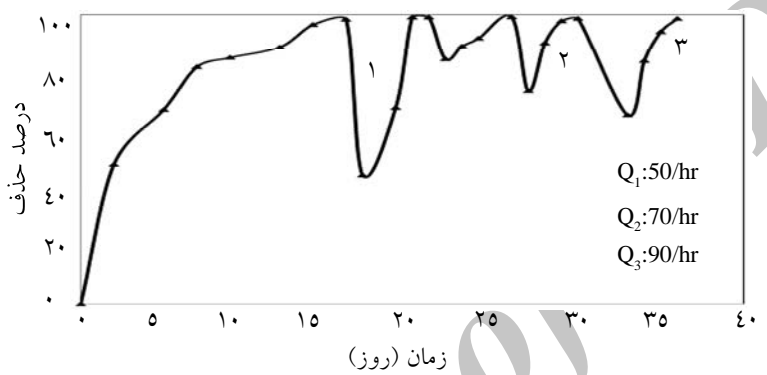
شکل ۴- درصد حذف COD نسبت به زمان در طول آزمایش



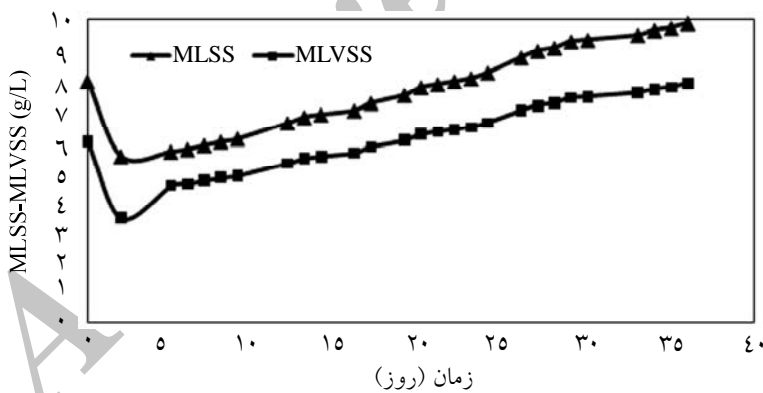
شکل ۵- درصد حذف TOC نسبت به زمان در طول آزمایش



شکل ۶- تغییرات غلظت مواد نفتی و روغنی در خوراک و پرمیت نسبت به زمان در طول آزمایش



شکل ۷- درصد حذف مواد نفتی و روغنی نسبت به زمان در طول آزمایش



شکل ۸- تغییرات MLSS و MLVSS نسبت به زمان در طول آزمایش

نیز افزایش می‌یابد. با افزایش MLSS، بازدهی سامانه از ۸۶٪ در مرحله اول به ۹۷٪ در مرحله دوم و ۹۵٪ در مرحله سوم تغییر می‌یابد.

محاسبه TMP و بررسی تأثیر شار غشا در فرایند و تعیین شار بهینه

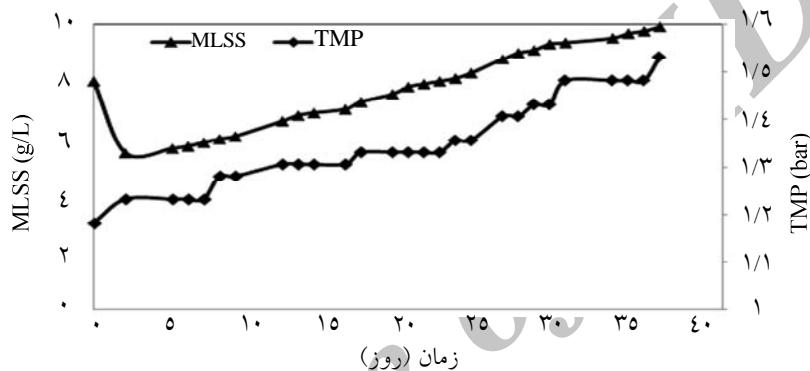
شار در عرض غشا در دو حالت حداقل و حداقل از طریق فرمول زیر محاسبه و از TMP متوسط در بیان نتایج استفاده شده است.

از روز چهارم به بعد با کاهش H_2S و عادت کردن ارگانیزم‌ها به فاضلاب، کاهشی در جمعیت میکروبی و یا در غلظت MLSS مشاهده نشد. افزایش زمان ماند لجن در سامانه می‌تواند دلیل افزایش MLSS در دوره آزمایش باشد. شکل ۹ تغییرات MLSS و فشار در عرض غشا را نسبت به زمان نشان می‌دهد. همان گونه که مشاهده می‌شود با افزایش MLSS، نیز تدریجاً افزایش می‌یابد. با دقت در شکل ۱۰ درمی‌یابیم که با افزایش MLSS، بازده سامانه

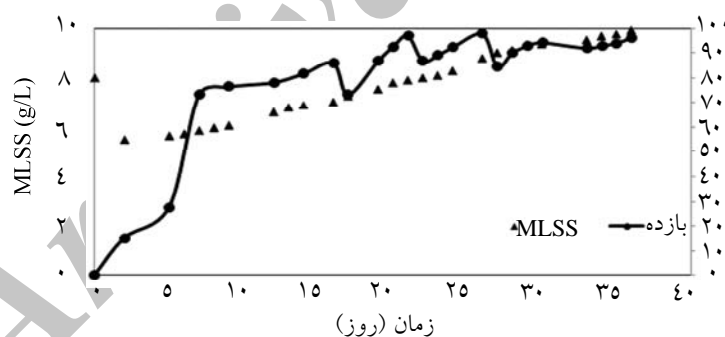
یافت که در شکل ۱۱ نشان داده شده است. در این هنگام، بیوراکتور تخلیه شده و سپس با آب تمیز پر شد. مدول غشایی مطابق با دستور شستشو ابتدا با اسید استیک و مجدداً با هیپوکلریت سدیم مورد شستشوی شیمیایی قرار گرفت. در روز چهل و دوم مجدداً بیوراکتور با آب تمیز پر شد، با ۱/۱۳ bar TMP باز هم ۱۷/۵ LMH و شار ۷۰ L/hr بود. در طی دو روز افزایش ۱/۱۸ bar TMP پنجم که سامانه با فاضلاب راه اندازی شد، شار ۱۲/۵ LMH بود. در طی مدت زمان ۱۶ روز، TMP تدریجاً از ۱/۱۸ bar به ۱/۲۸ bar افزایش یافت. زمانی که شار به ۱/۳۵ bar افزایش یافت، TMP در مدت زمان ده روز به ۲۲/۵ LMH رسید. در روز ۳۱، زمانی که شار به ۱/۴ bar TMP در طی ده روز از ۱/۴ bar به ۱/۵۳ bar افزایش

$$(1) \quad \text{TMP} = P_{\text{feed}} - P_{\text{gas}} \quad \text{جریان گذرنده از غشا}$$

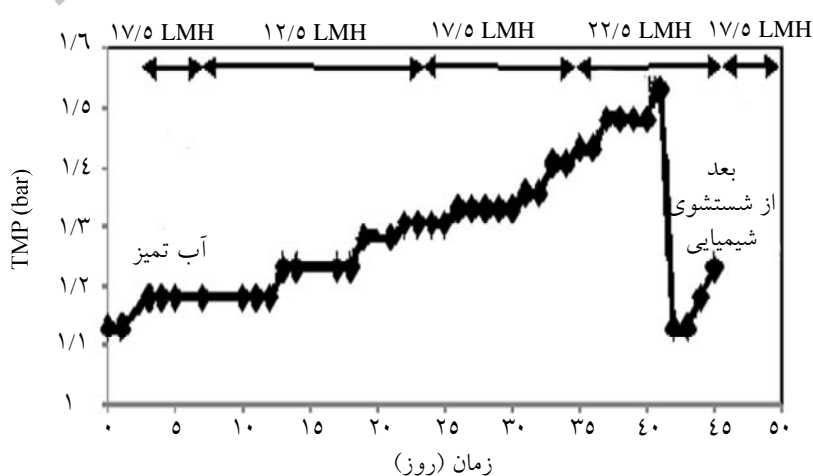
در ابتدای راه اندازی سامانه با آب، دبی ۷۰ L/hr و شار ۱۷/۵ LMH بود. در مدت چهار روز راه اندازی سامانه با آب، TMP از ۱/۱۳ bar به ۱/۱۸ bar افزایش یافت. در روز ۱۲/۵ LMH پنجم که سامانه با فاضلاب راه اندازی شد، شار ۱/۱۸ bar بود. در طی مدت زمان ۱۶ روز، TMP تدریجاً از ۱/۱۸ bar به ۱/۲۸ bar افزایش یافت. زمانی که شار به ۱/۳۵ bar افزایش یافت، TMP در مدت زمان ده روز به ۲۲/۵ LMH رسید. در طی ده روز از ۱/۴ bar TMP در طی ده روز از ۱/۴ bar به ۱/۵۳ bar افزایش



شکل ۹- تغییرات TMP و MLSS نسبت به زمان در طول آزمایش



شکل ۱۰- تغییرات بازدهی سامانه و MLSS نسبت به زمان در طول آزمایش

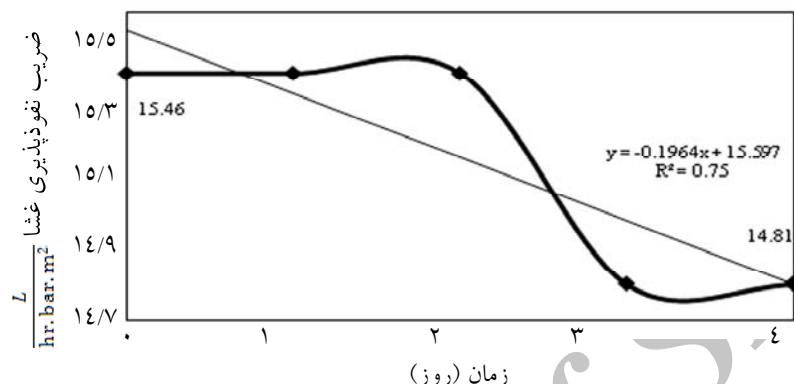


شکل ۱۱- تغییرات TMP متوسط نسبت به زمان در طول آزمایش

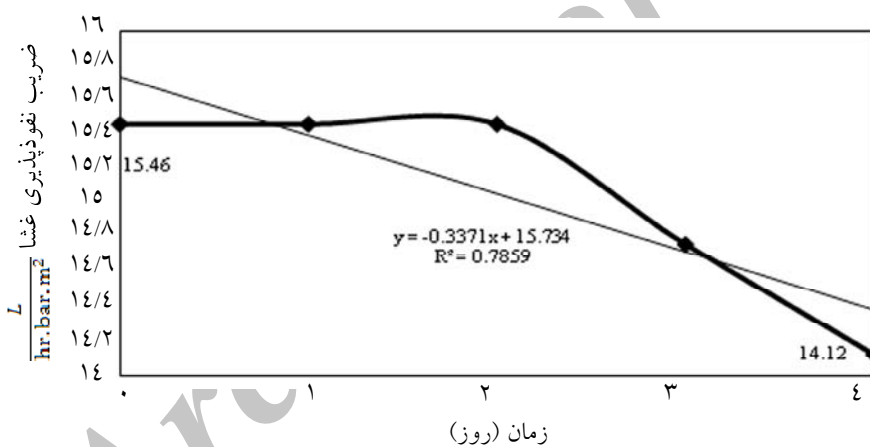
مشابه، ضریب نفوذپذیری غشا مجدداً $\frac{L}{hr \cdot bar \cdot m^2}$ ۱۵/۴۶ بود که در روز چهارم به مقدار $\frac{L}{hr \cdot bar \cdot m^2}$ ۱۴/۱۲ کاهش یافت. نتایج ارائه شده در شکل‌های ۱۲ و ۱۳ نشان می‌دهد که بعد از شستشوی شیمیایی، تراوایی غشا ۹۵/۴٪ قابل بازیابی است.

محاسبه ضریب نفوذپذیری غشا

در ابتدای راهاندازی سامانه با آب و در دبی L/hr ۷۰ ضریب نفوذپذیری غشا برابر $\frac{L}{hr \cdot bar \cdot m^2}$ ۱۵/۴۶ بود که در انتهای ۴ روز به $\frac{L}{hr \cdot bar \cdot m^2}$ ۱۴/۸۱ رسید. در انتهای دوره آزمایش، هنگام راهاندازی مجدد سامانه با آب در شرایط



شکل ۱۲- تغییرات ضریب نفوذپذیری غشا در ۴ روز اول راهاندازی با آب



شکل ۱۳- تغییرات ضریب نفوذپذیری غشا در ۴ روز انتهایی راهاندازی با آب

ین ۱۹ تا ۵۱ mg/L متغیر بود، در کل دوره آزمایش غلظت نفت و چربی در محصول خروجی از بیوراکتور همواره کمتر از ۸ mg/L و در انتهای هر مرحله از آزمایش غلظت نفت و چربی کمتر از ۰/۵ mg/L بود. درصد حذف متوسط ۹۹/۱۸٪ محاسبه گردید. این نتایج نشان دهنده توانایی خوب غشا در حذف امولسیون‌های نفت و چربی است، به گونه‌ای که غلظت بالای مواد نفتی سبب گرفتگی برگشت‌ناپذیر غشا نشده است.

- با افزایش غلظت مواد معلق مایع مخلوط (MLSS) از ۶۶۰۰ mg/L در مرحله اول آزمایش به ۹۹۰۰ mg/L در انتهای آزمایش، راندمان حذف از ۸۶٪ به ۹۷٪ در مرحله

نتیجه‌گیری

- نتایج آزمایشات حاکی از امکان پذیری تصفیه فاضلاب پالایشگاهی با بیوراکتور غشایی غوطه‌ور بود.
- غلظت تمامی پارامترهای مورد نظر پایین‌تر از حد مجاز تعیین شده برای استفاده کشاورزی و یا تخلیه به چاه جاذب و آب‌های سطحی بود.
- در مرحله دوم آزمایش و با زمان ماند هیدرولیکی ۱۵/۸۷ ساعت نتایج بهتری نسبت به مرحله دیگر به دست آمد.
- بر اساس نتایج این تحقیق زمان ماند هیدرولیکی ۱۵/۸۷ ساعت و شار L / hrm^2 ۱۷/۵ کاربردی‌تر است.
- علی‌رغم اینکه غلظت نفت و چربی در خوراک ورودی

صورت سیار، استفاده از آن می‌تواند به عنوان یک راهکار جدید در تصفیه پساب‌های نفتی مورد توجه قرار گیرد.

تشکر و قدردانی

این تحقیق در اجرای مفad قرارداد پژوهشی و تحقیقاتی به شماره ۷۱-۸۴۰۱ منعقده فی مابین مدیریت پژوهش و فناوری شرکت ملی نفت ایران، پژوهشگاه صنعت نفت و دانشگاه تربیت مدرس تهیه شده است و هزینه اجرای آن را مدیریت پژوهش و فناوری شرکت ملی نفت ایران تامین و پرداخت نموده است. بدین وسیله از کلیه مدیران و کارمندان پژوهشگاه صنعت نفت که بدون همکاری و هماهنگی‌های ایشان انجام این تحقیق میسر نبود، تشکر و قدردانی می‌گردد.

دوم و ۹۵/۲۲٪ در مرحله سوم رسید. کاهش راندمان در مرحله سوم را می‌توان به افزایش دبی و در نتیجه کاهش زمان ماند هیدرولیکی در این مرحله نسبت داد.

- بر اساس نتایج آزمایشگاه میکروبیولوژی، در هیچ یک از نمونه‌های آب خروجی باکتری فیکال کلیفرم^۱ مشاهده نشده است. این مطلب بیان‌گر قابلیت بالای غشا در حذف باکتری‌ها است که می‌توان آن را به سایز تخلخل ۳۸ نانومتری غشا نسبت داد.

- نفوذپذیری غشا بعد از شستشوی شیمیایی ۹۵/۴۰٪ قابل بازیابی بود. این مطلب نشان می‌دهد غشا به صورت غیر قابل برگشت گرفته نشده است.

- با توجه به موارد مذکور و مزایای بیوراکتورهای غشایی که پیشتر ذکر گردید، به خصوص کوچک بودن واحدهای تصفیه پساب و امکان بهره مندی از این واحدها حتی به

علائم و نشانه‌ها

PES: Polyether Sulphone

PFD: Process Flow Diagram

Ppm: Part per million

PVC: Polyvinil Chloride

SMBR: Submerged Membrane Bioreactor

TDS: Total Dissolved Solid

TMP: Trans membrane Pressure

TOC: Total Organic Carbon

TSS: Total Suspended Solid

UF: Ultra Filtration

VUM: Vacuum Ultra filtration Membrane

BOD₅: Biochemical Oxygen Demand

COD (mg/L): Chemical Oxygen Demand

HRT: Hydraulic Retention Time

LMH: Liter Per Square Meter Hour

LPM: Liter Per Minute

MBR: Membrane Bioreactor

MF: Micro Filtration

MLSS: Mixed Liquor Suspended Solid

MLVSS: Mixed Liquor Volatile Suspended Solid

P&ID: Process and Instrumentation Diagram

PAN: Polyacrylonitrile

مراجع

- [1]. Ford D., "Technologies for Removal of Hydrocarbons from Surface and Ground water Sources", In Oil in Fresh Water: Chemistry, Biology and countermeasure Technology, New York, Pergamon Press, pp. 413-430, 1978.
- [2]. IOGCC and ALL., A Guide to Practical Management of Produced Water from Onshore Oil and Gas Operations in the United States, prepared for U.S. Department of Energy, National Energy Technology Laboratory, by the Interstate Oil and Gas Compact Commission and ALL Consulting, October, 2006.
- [3]. Rhee C. H., Martyn P. C. and Kremer J. G., "Removal of oil and grease in the hydrocarbon processing industry",

1. Fecal Coliform

- try", The Proceeding of the 42nd Purdue University Industrial Waste Conference, pp. 143-150, 1987.
- [۴]. رنلدرز ت. د. و ریچاردز پ. ا، ترجمه: ترکیان ا. و مردان س، شرکت شهرک‌های صنعتی تهران، واحدهای عملیاتی و فرایندی در مهندسی محیط زیست، جلد دوم، ۱۳۷۹
- [۵]. توفیقی ه. و مردان س، آشنایی با سامانه لجن فعال با رشد چسبیده ثابت در تصفیه فاضلاب‌های صنعتی، سازمان صنایع کوچک و شهرک‌های صنعتی ایران، صفحات ۱۲-۱۹، ۱۳۸۶.
- [6]. Takht Ravanchi M., Kaghazchi T. and Kargari A., "Application of membrane separation processes in petrochemical industry: a review", Desalination, Vol. 235, pp.199–244, 2009.
- [7]. Lesjan B., *Introducing the MBR technology and the european market*, Membrane technologies for alternative water resources, Workshop, Thessaloniki, Greece, 2009.
- [8]. Stephenson T., Brindle K., Judd S. and Jefferson P., *Membrane Bioreactors for Wastewater Treatment*, International water Association, London, 2000.
- [9]. Lin S. H. and Lan W. J., "Waste Oil/Water Emulsion Treatment by Membrane Process", Journal of Hazardous Materials, Vol. 59, Nos. 2-3, pp.189-199, 1998.
- [۱۰]. وثوقی م، مصلحی مصلح آبادی پ، کاربرد فناوری بیوراکتورهای غشایی در تصفیه فاضلاب‌های نفتی - نهمین کنگره ملی مهندسی شیمی ایران - دانشگاه علم و صنعت ایران - آذرماه ۱۳۸۳
- [11]. Scholz W. and Fochts W., "Treatment of oil Contaminated Wastewater in a Membrane Bioreactor", Journal of water Researches, Vol. 34, No. 14, pp. 3621-3629, 2002.
- [12]. Qin J., Htun Oo M., Tao G. and Kiran A. K., "Feasibility study on petrochemical wastewater treatment and reuse using submerged MBR", Journal of Membrane Science, Vol. 293, pp. 161–166, 2007.
- [13]. Lesage N., Sperandio M. and Cabassud C., "Study of a hybrid process: Adsorption on activated carbon/membrane bioreactor for the treatment of an industrial wastewater", Chemical Engineering and Processing, Vol.47, pp. 303–307, 2008.
- [14]. Till S. and Mallia H., *Membrane bioreactors: wastewater treatment applications to achieve high quality effluent*, 64th Annual Water Industry Engineers and Operators Conference, 2001.